

## РОЗДІЛ VI. ЕНЕРГЕТИКА

УДК 62-83-52:621.311.24

Д.Г. Алексеевский, канд. техн. наук

А.А. Бурова, аспирант

А.Н. Буров, канд. техн. наук

С.А. Кулаков, аспирант

Запорожская государственная инженерная академия (ЗГИА), г. Запорожье, Украина

### ОПРЕДЕЛЕНИЕ КОЭФФИЦИЕНТА ПРЕОБРАЗОВАНИЯ МОЩНОСТИ ЭЛЕКТРОМЕХАНИЧЕСКОЙ СИСТЕМЫ ВЭУ С АЭРОДИНАМИЧЕСКИМ МУЛЬТИПЛИЦИРОВАНИЕМ

Д.Г. Алексієвський, канд. техн. наук

А.О. Бурова, аспірант

О.М. Буров, канд. техн. наук

С.О. Кулаков, аспірант

Запорізька державна інженерна академія (ЗДІА), м. Запоріжжя, Україна

### ВИЗНАЧЕННЯ КОЕФІЦІЕНТА ПЕРЕТВОРЕННЯ ПОТУЖНОСТІ ЕЛЕКТРОМЕХАНІЧНОЇ СИСТЕМИ ВЕУ З АЕРОДИНАМІЧНИМ МУЛЬТИПЛІКУВАННЯМ

Dmitriy Alekseyevskiy, PhD in Technical Sciences

Anastasiya Burova, PhD student

Aleksey Burov, PhD in Technical Sciences

Sergey Kulakov, PhD student

Zaporozhye State Engineering Academy (ZSEA), Zaporozhye, Ukraine

### DETERMINATION OF POWER CONVERSION COEFFICIENT OF THE ELECTROMECHANICAL SYSTEM OF WIND POWER PLANT WITH AN AERODYNAMIC MULTIPLICATION

Рассмотрена аэромеханическая система ветроэнергетической установки на базе схемы с аэродинамическим мультипликатором. Рассмотрена энергетическая диаграмма аэродинамического мультиплицирования с учетом потерь. На основе анализа энергетической диаграммы определен коэффициент преобразования системы аэродинамического мультиплицирования.

**Ключевые слова:** ветроэнергетическая установка, ветротурбина, генератор, коэффициент преобразования мощности, аэродинамическое мультиплицирование.

Розглянуто аеромеханічну систему вітроенергетичної установки на базі схеми з аеродинамічним мультиплікатором. Розглянуто енергетичну діаграму аеродинамічного мультиплікування з урахуванням втрат. На основі аналізу енергетичної діаграми визначено коефіцієнт перетворення системи аеродинамічного мультиплікування.

**Ключові слова:** вітроенергетична установка, вітротурбіна, генератор, коефіцієнт перетворення потужності, аеродинамічне мультиплікування.

The article deals with the wind power plant aeromechanical system based on the scheme with an aerodynamic multiplier. We consider the energy diagram of the aerodynamic multiplication with the losses. On the base of the analysis of energy diagram the coefficient of conversion of aerodynamic multiplication system is determined.

**Key words:** wind power plant, wind turbine, generator, conversion coefficient of power, aerodynamic multiplication.

**Введение.** Основными способами согласования режимов работы генератора и ветротурбины в ветроэлектрогенерирующих системах, получивших сегодня широкое распространение, являются: применение мультипликатора и использование тихоходных генераторов. Каждое из этих направлений имеет свои достоинства и недостатки. Схема с мультипликатором позволяет использовать быстроходный генератор и, как следствие, улучшить его массогабаритные показатели. Однако сам мультипликатор является источником существенных механических потерь, снижает надежность системы и повышает эксплуатационные затраты. Система с тихоходным генератором позволяет избавиться от мультипликатора, но требует значительного увеличения массы и габаритов генератора.

Одним из альтернативных направлений согласования аэромеханической и электромеханической подсистем ВЭУ является применение аэродинамического мультилиплицирования [1]. Эта концепция построения системы ВЭУ известна достаточно давно. Однако настоящее развитие она получила относительно недавно, благодаря усилиям специалистов фирмы «Конкорд» (г. Днепропетровск).

**Анализ проблемы и постановка задачи.** Дискуссионным моментом в использовании схемы с аэродинамическим мультилиплицированием является вопрос о величине результирующего коэффициента преобразования всей системы. Существует мнение, что его величина значительно ниже, чем у классической системы преобразования ветрового потока, и применение этой схемы экономически нецелесообразно. В связи с этим актуальным является определение выражения для коэффициента преобразования мощности аэродинамического мультилиплицирования.

Таким образом, целью работы является получение выражения для определения общего коэффициента передачи двойного аэромеханического преобразования.

**Материал и результаты исследования.** Двойное аэромеханическое преобразование, которое используется для аэродинамического мультилиплицирования, может быть представлено в виде схемы, показанной на рис. 1. Энергия ветрового потока преобразуется в механическую энергию вращения первичного ветроколеса. При его вращении возникает вторичный воздушный поток, который воспринимается вторичными ветротурбинами и мощность которого преобразуется в механическую мощность на валу генераторов.

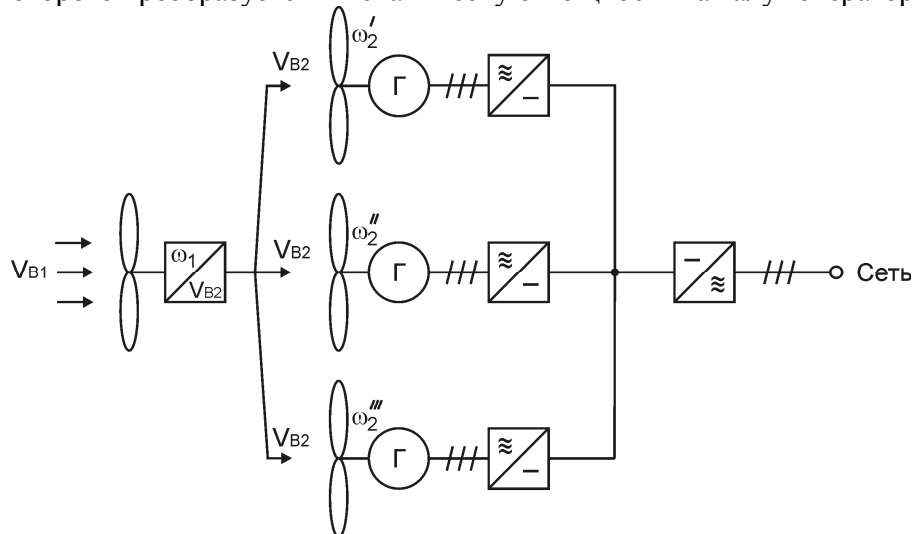


Рис. 1. Система с двукратным преобразованием

Энергетическая диаграмма системы с аэродинамическим мультилиплицированием показана на рис. 2.

Мощность ветрового потока определяется из выражения:

$$P_{VB1} = \frac{\rho \cdot S_{BK1} \cdot V_{B1}^3}{2}, \quad (1)$$

где  $\rho$  – плотность воздуха;

$S_{BK1}$  – площадь, ометаемая первичным ветроколесом;

$V_{B1}$  – скорость ветрового потока.

Соответственно, мощность на валу ветроколеса:

$$P_{M1} = P_{VB1} \cdot Cp_1, \quad (2)$$

где  $Cp_1$  – коэффициент преобразования мощности ветрового потока первичным ветроколесом.

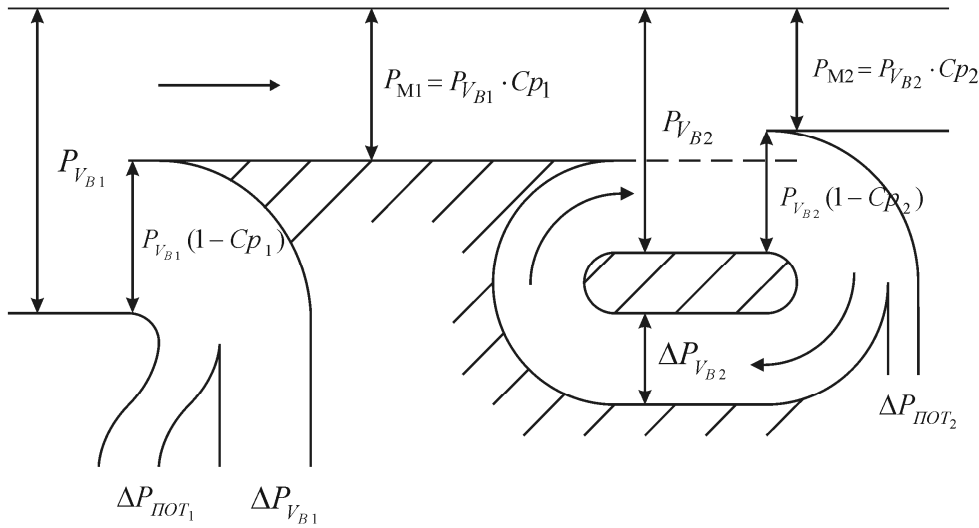


Рис. 2. Энергетическая диаграмма аэродинамического мультилицирования

Остальная мощность ветра, пропорциональная величине  $(1 - Cp_1)$ , уносится безвозвратно. Она складывается из мощности затурбинного потока  $\Delta P_{VB1}$  и мощности потерь  $\Delta P_{POT1}$ .

Мощность вторичного воздушного потока, вызванного вращением ветроколеса, определяется как поток кинетической энергии воздушной массы в системе координат, связанной с вращающейся ветротурбиной:

$$P_{VB2} = \frac{\rho \cdot S_{BK2} \cdot V_{B2}^3}{2}, \quad (3)$$

где  $S_{BK2}$  – площадь, ометаемая вторичными ветротурбинами;

$V_{B2}$  – скорость вторичного воздушного потока.

При этом скорость вторичного воздушного потока определяется угловой скоростью вращения вала ветроколеса  $\omega_1$  и радиусом закрепления гондолы  $R_{gon}$ :

$$V_{B2} = R_{gon} \cdot \omega_1. \quad (4)$$

Совокупная механическая мощность на валу ветротурбин определяется из выражения:

$$P_{M2} = P_{VB2} \cdot Cp_2, \quad (5)$$

где  $Cp_2$  – коэффициент преобразования мощности воздушного потока вторичной турбиной.

Как видно из диаграммы (рис. 2), часть мощности вторичного воздушного потока определяется из выражения:

$$\Delta P_{VB2} = P_{VB2} \cdot (1 - Cp_2) - \Delta P_{POT2}. \quad (6)$$

Она не подвергается преобразованию и остается в системе. Другая часть  $\Delta P_{POT2}$  относится к потерям.

Для формального представления результирующего коэффициента преобразования системы введем коэффициент потерь  $K_{POT2}$ , характеризующий потери  $\Delta P_{POT2}$  как долю мощности вторичного воздушного потока:

$$K_{POT2} = \frac{\Delta P_{POT2}}{P_{VB2}}. \quad (7)$$

Причем из физических соображений должно выполняться условие:

$$K_{POT2} + Cp_2 \leq 1. \quad (8)$$

Суммарный коэффициент передачи мощности определяется как отношение мощности на валу генератора к мощности ветрового потока:

$$K_{sum} = \frac{P_{M2}}{P_{VB1}}. \quad (9)$$

Как видно из диаграммы, механическая мощность на валу вторичной ветротурбины равна разности механической мощности на валу ветроколеса и мощности потерь:

$$P_{M2} = P_{M1} - \Delta P_{пот2}. \quad (10)$$

Выразив  $\Delta P_{пот2}$  из (7) и  $P_{VB2}$  из (5), с учетом (2) и (10), после преобразования может быть получено выражение для определения суммарного коэффициента преобразования системы:

$$K_{sum} = \frac{Cp_1}{\left(1 + \frac{K_{пот2}}{Cp_2}\right)}. \quad (11)$$

С помощью выражения (11) рассмотрим влияние коэффициента потерь на результирующий коэффициент передачи системы при  $Cp_1 = 0,48$  и  $Cp_2 = 0,48$  (рис. 3).

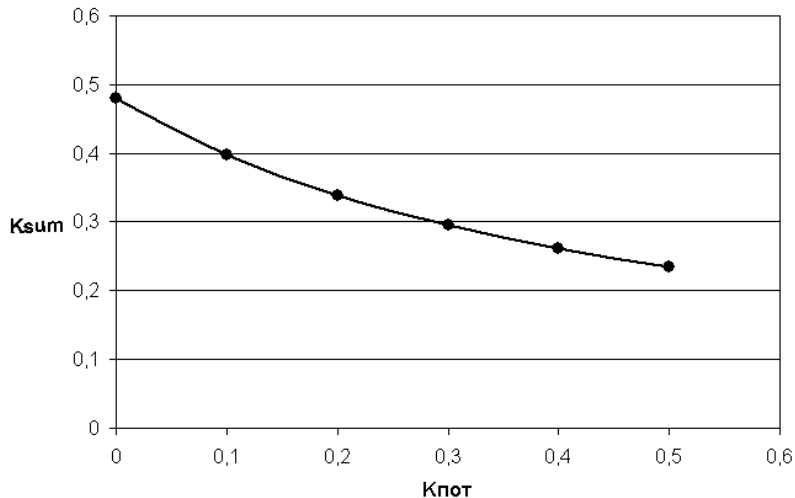


Рис. 3. Зависимость результирующего коэффициента преобразования мощности системы от коэффициента потерь (при  $Cp_1 = 0,48$ ,  $Cp_2 = 0,48$ )

Как следует из условия (8), коэффициент  $K_{пот2}$  может принимать значения от 0 до  $(1 - Cp_1)$ . При достижении  $K_{пот2}$  своего предельного значения, соответствующего ситуации, когда вся мощность потока, не преобразованная вторичной ветротурбиной, превращается в потери, результирующий коэффициент преобразования  $K_{sum}$  рассчитывается как произведение коэффициентов преобразования первичной и вторичной ветротурбин:

$$K_{sum}(K_{пот2}^{max}) = Cp_1 \cdot Cp_2. \quad (12)$$

Для оценки величины  $K_{пот2}$  при допущении про идеальность преобразования ветротурбиной мощности воздушного потока (отсутствие потерь на турбулизацию и трение о воздух) можно воспользоваться выражением коэффициента мощности, уносимой затурбинным воздухом, полученным в [2]:

$$K_{пот2} \approx (1 - \sqrt{1 - Cp_2})^2. \quad (13)$$

Для этого подставим выражение (13) в (11) для значений  $Cp_1 = 0,48$ ,  $Cp_2 = 0,48$ :

$$K_{sum} \approx \frac{Cp_1}{\left(1 + \frac{(1 - \sqrt{1 - Cp_2})^2}{Cp_2}\right)} = \frac{0,48}{\left(1 + \frac{(1 - \sqrt{1 - 0,48})^2}{0,48}\right)} = 0,41. \quad (14)$$

### **Выводы**

1. В результате анализа диаграммы преобразования мощности в системе с аэродинамическим мультилиплицированием установлено, что для общего коэффициента преобразования важно соотношение коэффициента потерь и коэффициента преобразования вторичного воздушного потока.

2. При равенстве нулю коэффициента потерь  $K_{pot_2}$  коэффициент мощности вторичной аэромеханической системы вообще не влияет на результирующий коэффициент преобразования, а его значение определяется только коэффициентом преобразования мощности первичной аэромеханической системы.

3. Полученное выражение для суммарного коэффициента преобразования подтверждает утверждение, приведенное в [1], о некорректности определения коэффициента преобразования системы с аэродинамическим мультилиплицированием как произведения коэффициентов преобразования мощности воздушного потока вторичной и первичной аэромеханических систем.

### **Список использованных источников**

1. Голубенко Н. С. Аэродинамические особенности безмультипликаторной турбогенераторной схемы ветроэлектрической установки большой мощности / Н. С. Голубенко // Материалы IV Международной конференции «Нетрадиционная энергетика в XXI веке». – Гурзуф, 2003. – С. 125–132.
2. Алексеевский Д. Г. Анализ поведения электромеханической системы ВЭУ с аэродинамическим мультилиплицированием с учетом потерь / Д. Г. Алексеевский, А. А. Бурова, С. А. Кулаков // Вісник НТУ «ХПІ». Серія: Нові рішення в сучасних технологіях. – Х. : НТУ «ХПІ», 2013. – № 18 (991). – С. 61–65. – Бібліогр. : 2 назв.